

Динамические поправки к силе изображения

© В.И. Кесаев, И.Н. Малиев

Северо-Осетинский государственный университет им. К.Л. Хетагурова,
Владикавказ, Россия

E-mail: malieff@inbox.ru

(Поступила в Редакцию 30 июня 2010 г.
В окончательной редакции 2 ноября 2010 г.)

Исследовано электрическое взаимодействие нерелятивистской точечной частицы (заряда, диполя) с плоской поверхностью металла в случае латерального движения частицы в вакууме с постоянной скоростью. Получено новое представление сил притяжения и трения в модели сплошной среды для металла. Для быстрых частиц, движущихся достаточно близко к поверхности, в модели Друде обнаружен отталкивательный характер взаимодействия.

Работа поддержана Федеральным агентством по образованию в рамках тематического плана Северо-Осетинского госуниверситета (тема № 159).

1. Введение

Учет влияния конденсированной среды на пролетающую вблизи ее границы малую частицу важен во многих областях физики, особенно в модной сейчас нанотехнологии. В рамках этой проблемы исследование электромагнитного взаимодействия точечных заряда и диполя с поверхностью массивного образца металла имеет давнюю историю (см., например, прекрасные написанные обзоры [1,2]). В [1,2] дан не только критический анализ результатов предыдущих работ других авторов, но также обоснован ряд новых, принципиально важных результатов, полученных Дедковым и Кясовым. В частности, это формулы для сил трения и притяжения в случае латерального движения частицы с постоянной скоростью над поверхностью металла.

Не подвергая сомнению достоверность всех оригинальных вычислений и формул в [1,2], мы в настоящей работе предлагаем заинтересованному читателю иное, нетривиальным образом отличающееся по форме представление картины взаимодействия точечной частицы с плоской поверхностью металла в случае нерелятивистского латерального движения. Выражения, найденные нами для сил трения и притяжения, являются новыми. По-видимому, представленная форма выражений для электрических потенциала и поля точечной частицы ранее никем не устанавливалась и, на наш взгляд, является удобной для применения принципа суперпозиции в проблеме движения пучков частиц вблизи плоской поверхности металла.

2. Потенциал индуцированного поля

Пусть металл занимает полупространство $z \leq 0$. Над его поверхностью (на расстоянии $z_0 > 0$) в вакууме движется с постоянной (параллельной поверхности) скоростью v точечная частица (ион, диполь, нейтраль-

ный атом). Нас будет интересовать отклик металла на электрическое поле частицы. Для этого нужно решить неоднородное волновое уравнение для скалярного потенциала φ с правой частью $-4\pi\rho(\mathbf{r}, t) = -4\pi q\delta(x - vt) \times \delta(y)\delta(z - z_0)$, где q — величина заряда частицы, ось x направлена вдоль скорости частицы, т. е. невозмущенная траектория движения частицы есть $\mathbf{r}_0(t) = \{vt, 0, z_0\}$ в выбранной декартовой системе.

Используя преобразование Лапласа по координате z [3], можно показать, что отклик металла создает в вакууме ($z > 0$) электрическое поле, потенциал которого

$$\varphi_{\text{мет}}(\mathbf{r}, t) = \frac{q}{4\pi} \int_0^\infty dk \int_0^{2\pi} d\theta \gamma(\theta) e^{i\mathbf{k}\mathbf{R}} e^{-k(z+z_0)/\gamma(\theta)} \Delta(kw \cos \theta). \quad (1)$$

Здесь $\gamma(\theta) = 1/\sqrt{1 - \beta^2 \cos^2 \theta}$, $\beta = v/c$ (c — скорость света), векторы $\mathbf{r} = \{x, y, z\}$, $\mathbf{R} = \{x - vt, y\}$, $\mathbf{k} = \{k \cos \theta, k \sin \theta\}$. Свойства металлов в модели сплошной среды описываются функцией

$$\Delta(\omega) = \frac{1 - \epsilon(\omega)}{1 + \epsilon(\omega)}, \quad (2)$$

где $\epsilon(\omega)$ — диэлектрическая проницаемость металла в пространственно однородном случае.

Ясно, что φ из (1) существенно зависит от выбора зависимости $\epsilon(\omega)$. В частности, в статическом пределе $\omega \rightarrow 0$ имеем $|\epsilon(\omega)| \rightarrow \infty$ и, следовательно, $\Delta(\omega) \rightarrow -1$, что приводит к известной из учебников формуле для потенциала изображения (при $v = 0$). Обычно исследователи принимают две модели: высокочастотное приближение, для которого $\epsilon(\omega) = \epsilon_1 = 1 - \omega_p^2/\omega^2$ ($\omega_p \sim 10^{14} \text{ s}^{-1}$), и низкочастотное приближение — $\epsilon(\omega) = \epsilon_2 = 1 + i4\pi\sigma/\omega$ ($\sigma \sim 10^8 \text{ s}^{-1}$) (все обозначения стандартны).

Далее мы вычисляем (1) для $\Delta(\omega)|_{\epsilon=\epsilon_{1,2}} \equiv \Delta_{1,2}$, причем нас будет интересовать значение $\varphi_{\text{мет}}$ вдоль невозмущен-

ной траектории $\mathbf{r}_0(t)$ в нерелятивистском случае, т. е.

$$\varphi_{1,2}(x, 0, z_0, t) = \frac{1}{4\pi} \int_0^\infty dk e^{-2z_0k} \int_0^{2\pi} d\theta e^{ik(x-vt)\cos\theta} \Delta_{1,2}. \quad (3)$$

Отметим, что выражение (3) с точностью до обозначений совпадает с аналогичной формулой из [1].

3. Низкочастотное приближение. Сила трения (заряд)

В этом разделе найдем $\varphi_{\text{мет}}$ в низкочастотном приближении. Имеем из (3)

$$\varphi_2 = -\frac{iq}{2\pi} \int_0^\infty dk e^{-2z_0k} \int_0^{2\pi} d\theta e^{ik(x-vt)\cos\theta} / (i + k\lambda \cos\theta), \quad (4)$$

где $\lambda = v/2\pi\sigma$ — характерный масштаб (напомним, что σ — статическая удельная проводимость металла). Для анализа (4) как функции скорости частицы φ_2 обычно преобразуется к виду, содержащему функции Макдональда [1] (это достигается тем, что вначале в двойном интеграле вычисляется сумма по k). Покажем, что имеется альтернативный путь вычисления (4), который приводит к результату, имеющему другую форму. Это связано с изменением порядка интегрирования в (4) и явным вычислением суммы по углу θ .

Действительно, рассмотрим выражение

$$G(a, b) = -i \int_0^{2\pi} \frac{e^{ia \cos\theta}}{i + b \cos\theta} d\theta \quad (5)$$

как функцию двух переменных (a, b) . Идея вычисления (5) заключается в составлении для G дифференциального уравнения по переменной $a \in \mathcal{R}$ и его решения. Поскольку $G(0, b) = -2\pi/\sqrt{1+b^2}$, $G(a, 0) = -2\pi J_0(a)$, где $J_0(x)$ — функция Бесселя нулевого порядка, несложно привести (5) к виду

$$G(a, b) = -2\pi e^{a/b} \left[\frac{1}{\sqrt{1+b^2}} \mp \int_0^{\pm a/b} J_0(bx) e^{\mp x} dx \right], \quad (6)$$

где верхний знак справедлив для $a > 0$, а нижний — для $a < 0$. Учитывая представление (6), легко преобразовать (4) к виду

$$\varphi_2(x, 0, z_0, t) = -\frac{q}{2z_0} e^{a/\lambda} \int_{a/\lambda}^\infty \frac{e^{-u} du}{\sqrt{1+\tilde{\lambda}^2 u^2}}. \quad (7)$$

Здесь $a = x - vt$, $\tilde{\lambda} = \lambda/2z_0$ — характерный параметр задачи. Формула (7) определяет значение потенциала

электрического поля, создаваемого электронами проводимости в низкочастотном приближении, вдоль невозмущенной траектории движения источника первичного электрического поля. Формула (7), насколько нам известно, является новой.

Зависимость $\varphi_2(x)$ позволяет вычислить x -компоненту индуцированного электрического поля $\mathcal{E}_x = -(\nabla\varphi)_x$ и соответственно силу трения $F_x = q\mathcal{E}_x$. Вычисления приводят к выражению

$$F_x(x = vt, 0, z_0, t) = -\frac{q^2 v}{2\pi\sigma(2z_0)^3} \int_0^\infty \frac{ue^{-u} du}{\sqrt{1+\tilde{\lambda}^2 u^2}}. \quad (8)$$

Аналогично можно было бы найти выражение для силы притяжения к поверхности металла $F_z = q\mathcal{E}_z$. Для этого надо оставить зависимость φ_2 от z , т. е. в формуле (4) заменить $2z_0$ в показателе экспоненты на $z + z_0$ (здесь мы эти вычисления проводить не будем).

Интеграл в (7) может быть выражен через функции Вебера и Неймана нулевого индекса от скорости частицы. Действительно, замечая, что

$$\begin{aligned} \int_0^\infty e^{-u} du / \sqrt{1+\tilde{\lambda}^2 u^2} &= \int_0^\infty e^{(-\text{sh } z)/\tilde{\lambda}} dz / \tilde{\lambda} \\ &= -(\pi/2\tilde{\lambda}) [E_0(1/\tilde{\lambda}) + N_0(1/\tilde{\lambda})], \end{aligned} \quad (9)$$

где $E_0(x)$, $N_0(x)$ — функции Вебера и Неймана соответственно [4], можем прийти к точному выражению для силы трения

$$F_x = -\frac{q^2}{2z_0\lambda} \left\{ \frac{\pi}{2\lambda} [E_0(1/\tilde{\lambda}) + N_0(1/\tilde{\lambda})] - 1 \right\}. \quad (10)$$

Используя вид (10), несложно исследовать пределы малых скоростей и больших удалений от поверхности ($\tilde{\lambda} \ll 1$) и обратный — больших скоростей и малых удалений ($\tilde{\lambda} \gg 1$). В случае медленного движения с учетом [4]

$$E_0(z) + N_0(z) \approx -\frac{2}{\pi z} \left(1 - \frac{2}{z^2} + \frac{9}{z^4} \right), \quad |z| \gg 1,$$

находим

$$F_x = -\frac{q^2}{2z_0} \frac{\tilde{\lambda}^2}{\lambda} + O(v^3) = -\frac{q}{16\pi\sigma z_0^3} v, \quad (11)$$

что в точности совпадает с формулой (40) из работы [5]. При больших скоростях движения источника, оставаясь в рамках нерелятивистского приближения, находим с учетом [4]

$$E_0(z) + N_0(z) \approx -\frac{2}{\pi} (z + \ln(2/\gamma z)), \quad |z| \ll 1$$

(γ — постоянная Эйлера), что сила трения

$$F_x = -\frac{q^2}{2z_0\lambda} (1 + O(\lambda^{-1} \ln \tilde{\lambda})) = -\frac{\pi q^2 \sigma}{z_0 v}. \quad (12)$$

4. Высокочастотное приближение. Сила притяжения (заряд)

Рассмотрим теперь вычисления в высокочастотном приближении. Имеем

$$\varphi_1(x, 0, z, t) = +\frac{q}{4\pi} \int_0^\infty e^{-(z+z_0)k} dk \int_0^{2\pi} d\theta \frac{e^{i(x-vt)k \cos \theta}}{k^2 \eta^2 \cos^2 \theta - 1}, \quad (13)$$

где $\eta = \sqrt{2}v/\omega_p$ — характерный масштаб задачи (напомним, что ω_p — плазменная частота электронов проводимости). Формулу (13) можно привести к виду

$$\varphi_1 = \frac{q}{\pi} \operatorname{Re} \int_0^{\frac{\pi}{2}} d\theta \int_0^\infty \frac{e^{-(z+z_0)k} e^{i(x-vt)k \cos \theta}}{k^2 \eta^2 \cos^2 \theta - 1} dk. \quad (14)$$

Дифференцируя (14) по x и учитывая симметрию интеграла по θ , находим, что $\mathcal{E}'_x = 0$. Этот результат является вполне понятным, поскольку в отсутствии затухания плазменных колебаний электронов проводимости сила трения заряда о поверхность должна быть равна нулю.

Параллельная оси z компонента поля пропорциональна $\partial\varphi/\partial z$ и равна в месте нахождения заряда

$$\mathcal{E}'_z(z_0) = \frac{q}{\pi} \operatorname{Re} \int_0^{\frac{\pi}{2}} d\theta \int_0^\infty \frac{e^{-2z_0k} k dk}{k^2 \eta^2 \cos^2 \theta - 1}. \quad (15)$$

Используя определения [4] интегральных показательных функций

$$\operatorname{Ei}(-x) = \int_{-\infty}^{-x} \frac{e^u du}{u}, \quad \operatorname{Ei}^*(x) = \int_{-\infty}^x \frac{e^u du}{u}, \quad x > 0, \quad (16)$$

находим форму для (15) в виде

$$\begin{aligned} \mathcal{E}'_z(z_0) = & -\frac{q}{\pi} \int_0^{\frac{\pi}{2}} \frac{d\theta}{\eta^2 \cos^2 \theta} \\ & \times \{e^{-\mu/v} \operatorname{Ei}^*(\mu/v) + e^{\mu/v} \operatorname{Ei}(-\mu/v)\}, \quad (17) \end{aligned}$$

где $\mu = 2z_0$, $v = \eta \cos \theta$. Формула (17), насколько нам известно, является новой.

Для силы притяжения, равной $F_z = q\mathcal{E}'_z(z_0)$ в пределе малых скоростей и больших расстояний, т.е. при $\mu/v \gg 1$ (при этом $\sqrt{2}z_0\omega_p/v \gg 1$), используя асимптотику Ei^* , Ei [4]

$$\begin{aligned} \operatorname{Ei}(-x) = & -\frac{e^{-x}}{x} \left(1 - \frac{1}{x} + \frac{2!}{x^2} - \frac{3!}{x^3} + \dots\right), \\ \operatorname{Ei}^*(x) = & \frac{e^x}{x} \left(1 + \frac{1}{x} + \frac{2!}{x^2} + \frac{3!}{x^3} + \dots\right), \end{aligned}$$

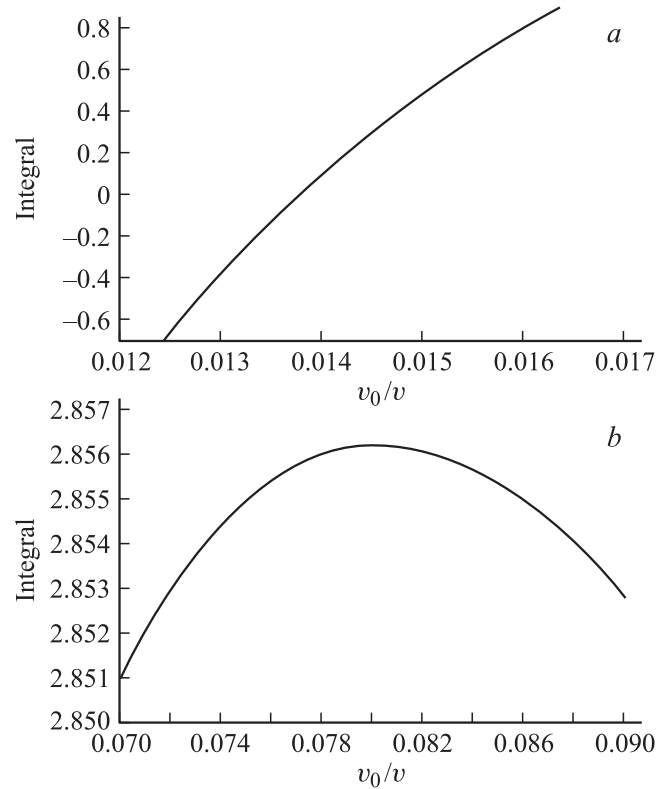


Рис. 1. Численный расчет значения интеграла в формуле (17) как функции параметра v_0/v , показывающий изменение знака поперечной к скорости компоненты E_z (a) и наличие максимума значения E_z (b).

находим

$$F_z(v \rightarrow 0) = -\frac{q^2}{(2z_0)^2} (1 + 3(\eta/2z_0)^2), \quad (18)$$

что совпадает с точностью до обозначений с формулой из [1]. В другом предельном случае $\sqrt{2}z_0\omega_p/v \ll 1$, оставаясь в рамках справедливости модели сплошной среды и нерелятивистского приближения, следует использовать асимптотику [4]

$$\operatorname{Ei}(-x) = \operatorname{Ei}^*(x) \approx \ln \gamma x.$$

Обозначая $\sqrt{2}z_0\omega_p = v_0$, находим, что при достаточно малых v_0/v основной вклад в интеграл по θ определяется областью вблизи нижнего предела, т.е.

$$F_z(v \rightarrow \infty) \approx -\frac{a^* q^2}{(2z_0)^2} \left(\frac{v_0}{v}\right)^3 \ln\left(\gamma \frac{v_0}{v}\right), \quad (19)$$

при этом коэффициент a^* (по значению порядка 1) остается неопределенным. Хотя величина силы мала, важно другое: сила притяжения становится в этой области параметров силой отталкивания, поскольку $\ln(\gamma \frac{v_0}{v}) < 0!$ (численный расчет интеграла в (17) под-

тверждает наш качественный вывод, рис. 1, а). Видно, что при $\frac{v_0}{v} \lesssim 0.013$ взаимодействие движущегося с большой скоростью заряда с поверхностью металла становится отталкиванием. Это заключение, насколько нам известно, также ранее никем не было сделано.

Вычисления, проведенные в разделах 3 и 4, позволяют решить задачу для дипольного момента (который может быть перманентным, как у полярной молекулы, или спонтанным, как у нейтрального атома).

В разделах 5 и 6 это решение дано в сокращенном виде для низко- и высокочастотного приближения соответственно.

5. Низкочастотное приближение. Сила трения (диполь)

Пусть центр масс диполя имеет координаты $\mathbf{r}_0(t)$, причем величина дипольного момента $d = ql = \text{const}$, $l \ll z_0$. Можно считать, что положительный и отрицательный заряды $\pm q$ диполя располагаются в точках $\mathbf{r}_{\pm} = \mathbf{r}_0 \pm \mathbf{l}/2$ соответственно.

Используя формулу (4) для φ_2 и принцип суперпозиции, после несложных, но довольно громоздких вычислений находим индуцированное поле в вакууме (отклик металла)

$$\mathcal{E}_x(a, b^*) = \frac{3e^{a/\lambda}}{b^{*5}} \int_{a/\lambda}^{\infty} [\lambda b^* d_z f_4(\lambda^*, u) + d_x (b^{*2} - 2\lambda^2 u^2) f_3(\lambda^*, u)] du,$$

$$\mathcal{E}_z(a, b^*) = \frac{e^{a/\lambda}}{b^{*3}} \int_{a/\lambda}^{\infty} [d_z (3f_3(\lambda^*, u) - f_1(\lambda^*, u)) + \frac{b^* d_x}{\lambda} f_1(\lambda^*, u)] du - \frac{d_x b^*}{\lambda \sqrt{b^{*2} + a^2}}, \quad (20)$$

где использованы обозначения $a = x - vt$, $b^* = z + z_0$ и принято допущение, что $\mathbf{d} = \{d_x, 0, d_z\}$. Функции f_1, f_2, f_3, f_4 определяются далее как

$$\begin{aligned} f_1(\lambda^*, u) &= e^{-u} / \sqrt{1 + \lambda^{*2} u^2}, \\ f_2(\lambda^*, u) &= u f_1(\lambda^*, u), \\ f_3(\lambda^*, u) &= e^{-u} / \sqrt{1 + \lambda^{*2} u^2}^5, \\ f_4(\lambda^*, u) &= u f_3(\lambda^*, u), \quad \text{где } \lambda^* = \frac{\lambda}{b^*}. \end{aligned} \quad (21)$$

Имея в наличии (20), несложно вычислить силы притяжения и трения. Найдем силу трения по формуле

$$\begin{aligned} F_x &= -\nabla_x U \Big|_{z=z_0}^{x=vt} = \nabla_x (\mathbf{d} \mathcal{E}_{\text{мет}}) \Big|_{z=z_0}^{x=vt} \\ &= \frac{d_z^2}{\lambda (2z_0)^3} \left[-2 + \int_0^{\infty} [3f_3(\tilde{\lambda}, u) - f_1(\tilde{\lambda}, u)] du \right] \\ &\quad + \frac{d_x^2}{\lambda (2z_0)^3} \left[\int_0^{\infty} f_2(\tilde{\lambda}, u) du - 1 \right] + \frac{d_x d_z}{\lambda^2 (2z_0)^2} \\ &\quad \times \left[\frac{3\lambda^2}{(3z_0)^2} \int_0^{\infty} f_4(\tilde{\lambda}, u) du + \int_0^{\infty} f_1(\tilde{\lambda}, u) du - 1 \right]. \end{aligned} \quad (22)$$

Следует отметить, что формулы (20) и (22) уже имеют приближенный характер, поскольку получены в дипольном приближении. В пределе малых скоростей (и больших расстояний) $\lambda \ll 1$ для (22) находим выражение

$$\begin{aligned} F_x(v \rightarrow 0) &= -\frac{3\lambda}{16z_0^4} (3d_x^2 + 4d_z^2) - \frac{45d_x d_z}{(2z_0)^4} \lambda^2 \\ &= -\frac{3v}{32\pi\sigma z_0^4} (3d_x^2 + 4d_z^2) + O(v^2), \end{aligned} \quad (23)$$

которое совпадает с аналогичным пределом в работе [5].

Ясно, что в случае пролета над металлом нейтрального атома сила трения запишется как среднее по ориентациям проекций d_x и d_z , т.е. в (22) d_z^2 и d_x^2 надо заменить на $d^2/2$, а величину $d_x d_z$ положить равной нулю.

В другом предельном случае быстрого движения $\tilde{\lambda} \gg 1$ выражение (22) путем почленного интегрирования после разложения в ряд по обратным степеням $\tilde{\lambda}$ можно привести к виду

$$\begin{aligned} F_z(v \rightarrow \infty) &= -\frac{d^2}{\lambda (2z_0)^3} \left(2 - \frac{1}{\tilde{\lambda}} \right) - \frac{d_x^2}{\lambda (2z_0)^3} \\ &\quad - \frac{5d_x d_z}{8(2z_0)} \frac{1}{\tilde{\lambda}^2} = -\frac{d_x^2 + 2d_z^2}{(2z_0)^3} \frac{2\pi\sigma}{v} + O(v^{-2}). \end{aligned} \quad (24)$$

6. Высокочастотное приближение. Сила притяжения (диполь)

Рассмотрим теперь взаимодействие диполя с поверхностью металла в высокочастотном приближении. В отсутствии затухания плазменных колебаний сила трения F_x равна нулю. Поэтому нашей целью в данном разделе будет вычисление силы притяжения диполя к металлу, т.е.

$$F_x = -\nabla_x U \Big|_{z=z_0}^{x=vt} = -\nabla_x (\mathbf{d} \mathcal{E}_{\text{мет}}) \Big|_{z=z_0}^{x=vt}, \quad (25)$$

где поле $\mathcal{E}_{\text{мет}}$ есть $-\nabla^{\text{tot}}$, $\varphi^{\text{tot}} = \varphi^{(+)} + \varphi^{(-)}$, $\varphi^{\pm} = \varphi_1(x_{\pm}, 0, z_{\pm}, t)$ из (13). При этом $x_{\pm} = vt + l_x/2$, $z_{\pm} = z_0 \pm l_z/2$. Произведя дифференцирование в (13)

по x и z и разлагая экспоненты в ряды по $l_x/4z_0$, $l_z/4z_0$, после несложных, но громоздких вычислений находим выражение для силы притяжения

$$F_z = \frac{dz^2}{\pi\mu^2\eta^2} \int_0^{\frac{\pi}{2}} \frac{d\theta}{\cos^2\theta} \left[1 - \frac{1}{2} \left(\frac{v_0}{v} \right)^2 \frac{f_0(\mu/v)}{\cos^2\theta} \right] + \frac{d_x^2}{2\mu^2\eta^2} \left[1 - \frac{1}{\pi} \left(\frac{v_0}{v} \right)^2 \int_0^{\frac{\pi}{2}} \frac{d\theta}{\cos^2\theta} f_0(\mu/v) \right], \quad (26)$$

где символ $f_0(\mu/v)$ использован как обозначение для выражения в фигурной скобке в интеграле формулы (17). В пределе малых скоростей $\mu/v \rightarrow \infty$ и, используя асимптотику интегральных показательных функций при больших значениях аргумента, находим выражение

$$F_z(v \rightarrow 0) = -\frac{3}{32z_0^4} (d_x^2 + 2d_z^2) - \frac{45}{128} \frac{d_x^2}{(z_0)^4} \left(\frac{\eta^2}{z_0} \right) - \frac{15}{32} \frac{d_z^2}{(z_0)^4} \left(\frac{\eta}{z_0} \right)^2. \quad (27)$$

Отметим, что в (26) нет расходящихся величин вблизи верхнего предела $\pi/2$, поскольку они взаимно уничтожаются вследствие справедливости указанной ранее асимптотики, т.е. $f_0(\mu/v) \approx \frac{2\eta^2}{\mu^2} \cos^2\theta (1 + \frac{6\eta^2}{\mu^2} \cos^2\theta)$, $\cos\theta \rightarrow 0$.

В противоположном случае быстрого движения ($\mu/v \rightarrow 0$) имеем из (26) для силы взаимодействия

$$F_z(v \rightarrow \infty) = \frac{1}{2(2z_0)^4} \left(\frac{v_0}{v} \right)^2 \left(d_x^2 + g \left(\frac{v_0}{v} \right) d_z^2 \right). \quad (28)$$

Это выражение подтверждается численным счетом (рис. 2 и 3) (вид функции $g > 0$ остается неопределенным при аналитической оценке). Таким образом, мы находим, что и для диполя взаимодействие с металлом при достаточно малом отношении v_0/v становится отталкиванием.

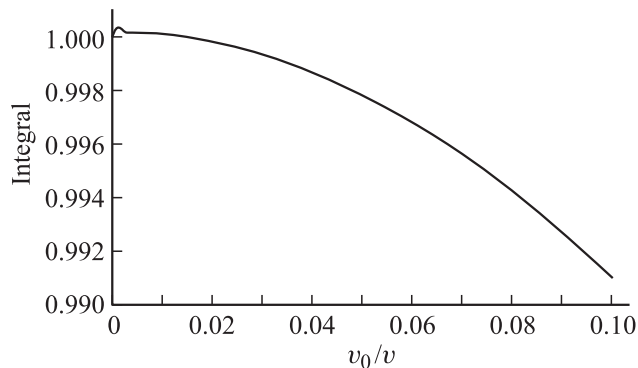


Рис. 2. Численный расчет значения множителя в квадратных скобках во втором слагаемом формулы (26) как функции параметра v_0/v (этот вклад связан с наличием d_x -компоненты диполя).

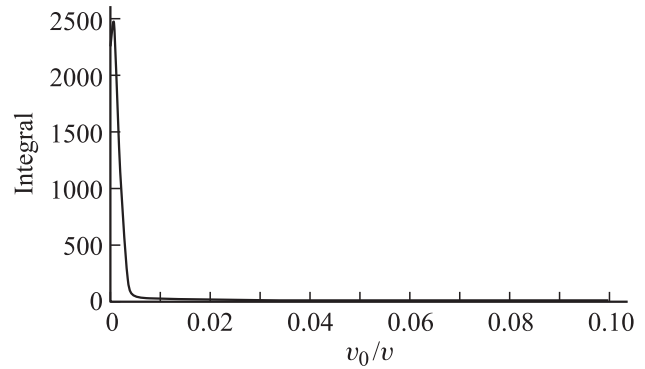


Рис. 3. Численный расчет значения интеграла в (26) как функции параметра v_0/v (этот вклад связан с наличием d_z -компоненты диполя).

Оценки показывают, что изложение выше может иметь место, например, для атома водорода с кинетической энергией ~ 1 MeV, если он пролетает над поверхностью на расстоянии ~ 10 nm.

7. Заключение

Нами получены новые выражения для скалярного потенциала, описывающие отклик металла на электрическое поле частицы, равномерно движущейся параллельно его плоской поверхности, в низкочастотном приближении и в модели Друде. Найденные на основе этого представления потенциала формулы для сил трения и притяжения не противоречат известным ранее результатам. Оказалось, что в модели Друде частица должна отталкиваться от поверхности при достаточно быстром движении близко от поверхности (т.е. при $\sqrt{2}z_0\omega_p/v \lesssim 10^{-2}$). Отметим также свойство экстремальности (максимум) силы притяжения для иона в модели Друде, выявленное с помощью численного счета при значениях параметра $v_0/v \sim 10^{-1}$ (рис. 1, б).

Представленная картина описания взаимодействия частицы с металлом, по-видимому, должна быть удобной для применения в исследовании косвенного взаимодействия частиц в монохроматических пучках, обусловленного их движением вблизи металла (например, в металлических щелях коллиматоров различных устройств).

Список литературы

- [1] Г.В. Дедков, А.А. Кясов. ФТТ **44**, 1729 (2002).
- [2] Г.В. Дедков, А.А. Кясов. ФТТ **51**, 3 (2009).
- [3] В.И. Кесаев, И.Н. Малиев. Владикавказ. мат. журн. **11**, 11 (2009).
- [4] Е. Янке. Ф. Эмде, Ф. Леш. Специальные функции. Наука, М. (1977). 342 с.
- [5] Г.В. Дедков, А.А. Кясов. ФТТ **43**, 169 (2001).